

应用肿瘤数据库信息分析 ZBTB16 在肝癌中的表达及其功能初步研究

于玲¹, 于敏²

[1.思路迪(北京)医药科技有限公司 研发部, 北京 100176; 2.内蒙古医科大学附属医院 心内科, 呼和浩特 010050]

摘要: Zinc finger and BTB domain containing 16(ZBTB16), 亦称早幼粒细胞白血病锌指蛋白(promyelocytic leukemia zinc finger, PLZF), 作为一种转录抑制因子在调控细胞周期、增殖、分化和凋亡等多种功能中发挥重要作用, 但其在肝癌组织中的表达情况及调控作用仍研究得较少。本研究利用 GEPIA 在线对 TCGA 肿瘤组织数据库和 GTEx 正常组织数据库中 369 例人肝癌组织和 160 例人正常肝组织中 ZBTB16 的表达进行生物信息学分析。结果发现, ZBTB16 在人肝癌组织中表达显著下调; 实时荧光定量 PCR 和 Western blotting 发现肝癌临床样本和肝癌细胞系中 ZBTB16 mRNA 和蛋白质水平均明显下调; GEPIA 在线分析示 ZBTB16 表达水平与肝癌患者的生存率呈正相关。利用 Ad-ZBTB16 腺病毒在肝癌细胞系 HepG2 中过表达 ZBTB16 能显著抑制细胞的增殖、迁移和侵袭能力。进一步机制研究表明, 过表达 ZBTB16 能显著抑制 JAK2 和 STAT3 的磷酸化水平。以上结果表明, 提高 ZBTB16 的表达或可作为肝癌治疗的靶点。

关键词: 肝癌; ZBTB16; 增殖; 迁移; 侵袭

中图分类号: R735.7

文献标志码: A

文章编号: 1001-2478(2020)01-0022-06

肝癌是常见的恶性肿瘤, 发病率和死亡率均位列我国恶性肿瘤前五位^[1], 癌细胞异常增殖和转移是造成肝癌患者高死亡率的最主要原因^[2]。因此, 深入探究致病机制, 寻找新的治疗靶点对于治疗或降低肝癌引起的致死风险迫在眉睫。ZBTB16 作为一种转录因子, 在前列腺癌^[3]、胰腺癌^[4]、结肠癌^[5]、肺癌^[6]、甲状腺癌^[7]和胆囊癌^[8]等多种肿瘤的发生发展中至关重要, 但目前关于其在肝癌中的功能研究较少。本研究旨在通过生物信息学数据库分析, 探究 ZBTB16 在肝癌组织中的表达情况, 进而结合肝癌临床样本和肝癌细胞系证实 ZBTB16 在其中的表达变化, 最后通过体外细胞实验明确 ZBTB16 在肝癌中的功能及可能的作用机制。

1 资料与方法

1.1 临床样本 收集内蒙古医科大学附属医院 2018 年原发性肝癌患者手术切除样本及相应的距离肝癌肿块边缘 2 cm 的癌旁组织, 共 6 例[男女各 3 例, 平均年龄(53.00±2.13)岁]。所有新鲜组织

取下后液氮速冻, 并于 -80 °C 冰箱超低温保存。所有病例经病理学诊断确诊, 临床资料完整, 在手术前未行放化疗或免疫治疗等辅助治疗措施。研究获得医院伦理委员会批准且患者均签署知情同意书。

1.2 细胞培养及腺病毒感染 将人正常肝细胞系 HL-7702 及肝癌细胞系 Hep3B、HepG2 和 Bel-7402 接种于含 10% FCS 的高糖 DMEM 培养液中, 在 37 °C、5% CO₂ 条件下培养。待细胞增殖至铺底率为(80~100)% 时, 分别感染腺病毒 Ad-GFP 和 Ad-ZBTB16(上海吉玛制药技术有限公司), 感染 48 h 后进行后续实验。

1.3 实时荧光定量 PCR 检测 用 TRIzol 裂解液 [Life Technologies (AB & Invitrogen)公司] 提取细胞总 RNA。用 M-MLV 反转录酶(Promega Corporation 公司)将 2 μg RNA 反转录为 cDNA, 反应体系 25 μL。用实时荧光定量 PCR 检测试剂盒(Fermentas 公司)进行相关基因的表达检测, 反应体系如下: SYBR 10 μL、前向引物 1 μL、反向引物 1 μL、cDNA 1 μL, 总反应体系 20 μL。实时荧光定量 PCR(仪器来自 Bio-Rad 公司)程序为 95 °C 5 min、95 °C 15 s、60 °C 30 s(45 个循环)。引物序列如下, 根据 $2^{-\Delta\Delta Ct}$ 值计算目的基因的相对表达量

收稿日期: 2019-01-16

作者简介: 于玲(1980—), 女, 硕士, 制药公司研发职员, 主要从事肿瘤药物研发工作

通信作者: 于敏(E-mail: 18504716700@126.com)

变化(表1)。

表1 引物序列

基因		序列(5'→3')
ZBTB16	前向	TCACATACAGGCGACCACC
	反向	CTTGAGGCTGAACCTCTTGC
GAPDH	前向	GGAGCGAGATCCCTCCAAAAT
	反向	GGCTGTTGTCATACTTCTCATGG

1.4 Western blotting 检测 RIPA 裂解液(上海碧云天生物技术有限公司)裂解肝癌组织提取总蛋白, BCA 试剂盒(Thermo Fisher Scientific 公司)检测蛋白质浓度。用 10% SDS-PAGE 分离总蛋白(20~30 μg), 再将其转印至 0.2 μm PVDF 膜上, 用 5% 脱脂奶粉室温条件下封闭 1 h, 分别加入相应的一抗[抗 ZBTB16 抗体(1:1 000, Abcam 公司)、抗 JAK2 抗体(1:5 000, Abcam 公司)、抗 p-JAK2 抗体(1:1 000, Abcam 公司)、抗 STAT3 抗体(1:1 000, Abcam 公司)、抗 p-STAT3 抗体(1:2 000, Abcam 公司)和抗 β-actin 抗体(1:1 000, Abcam 公司)], 于 4 ℃ 摆床孵育过夜。加入羊抗兔 IgG-HRP 二抗(1:1 000, Abcam 公司), 室温条件下孵育 2 h。最后用 ECL 试剂盒(上海天能科技有限公司)显影并扫描图片。

1.5 CCK-8 法检测细胞增殖能力 将 2 000 个 HepG2 细胞接种于 96 孔板, 待细胞贴壁生长后, 分别用腺病毒 Ad-GFP 和 Ad-ZBTB16 感染 HepG2 细胞, 每组设 6 个复孔。病毒感染 24、48、72、96 和 120 h 后, 弃去培养液, 每孔加入 90 μL 新鲜培养液和 10 μL CCK-8 试剂。孵育 4 h 后, 于酶联免疫检测仪检测 D(490 nm) 并绘制生长曲线。

1.6 Transwell 实验检测细胞的迁移和侵袭能力

细胞迁移实验: 分别收集病毒感染 48 h 后的 HepG2 细胞, 用无血清高糖 DMEM 培养液漂洗 2 次, 取 200 μL 细胞悬液(2×10^5 个/mL)加入 Transwell 小室的上室, 下室加入 500 μL 含 10% FCS 的培养液; 5% CO₂、37 ℃ 条件下培养 24 h, PBS 漂洗 3 次; 加入 400 μL 甲醛固定 20 min, 再用 PBS 漂洗 3 次; 500 μL 1% 结晶紫染色 15 min,

PBS 冲洗晾干, 显微镜下摄片观察。细胞侵袭实验: 实验前先用 Matrigel 胶包被 Transwell 小室上室, 后续处理同细胞迁移实验。

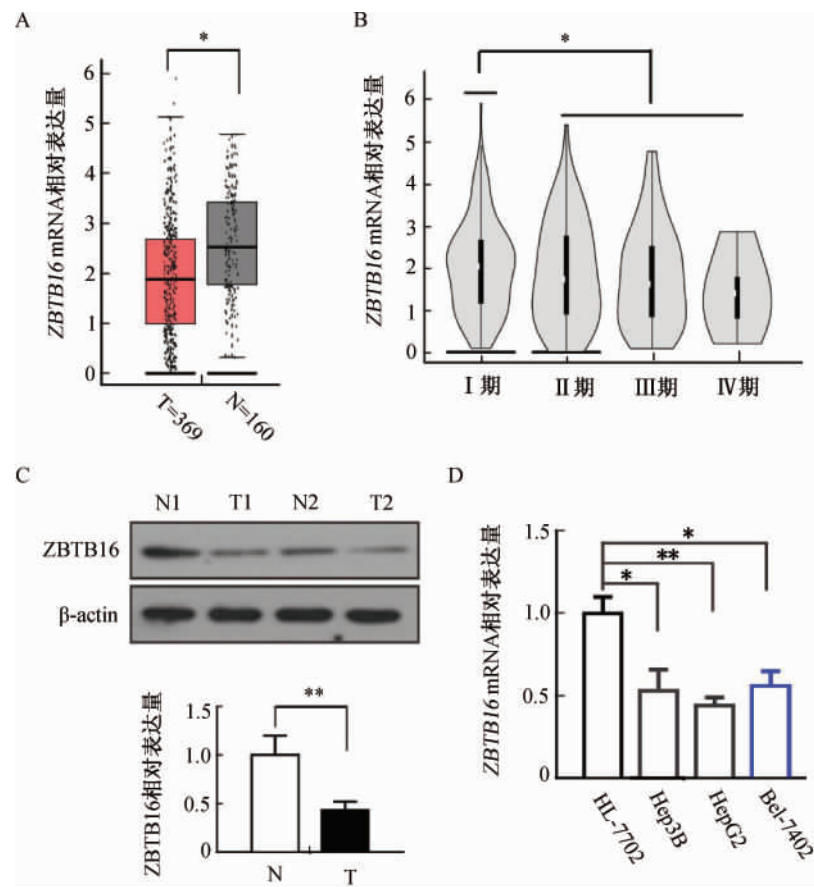
1.7 生物信息学分析 通过在线软件 GEPIA (<http://gepia.cancerpku.cn/index.html>) 分析 ZBTB16 在人肝癌(TCGA 数据库)和正常肝组织(GTEx 数据库)中的表达情况。应用“survival”选项分析 364 例样本中 ZBTB16 表达与生存时间的 Kaplan-Meier 关系图。搜索 ZBTB16 在不同病理分期肝癌组织中的表达情况, 应用 Log-rank 检验分析 ZBTB16 的表达差异。

1.8 统计学处理 用 SPSS 19.0 统计分析数据, 采用 Graphpad 5.0 软件作图。所有实验数据均以 $\bar{x} \pm s$ 表示, 两两比较采用独立样本 t 检验, 每个实验至少独立重复 3 次, 以 $P < 0.05$ 为差异有统计学意义。

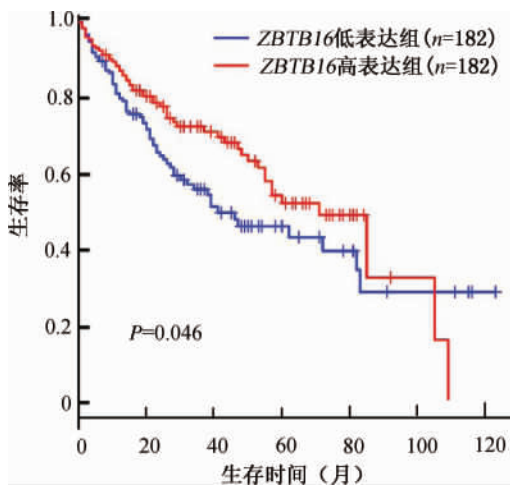
2 结果

2.1 ZBTB16 在肝癌组织、肝癌细胞系及正常肝组织中的表达 通过 GEPIA 在线分析 TCGA 和 GTEx 数据库中 369 例人肝癌组织和 160 例正常肝组织中 ZBTB16 的表达。结果发现, 与正常肝组织相比, ZBTB16 在肝癌组织中表达显著降低($P < 0.05$, 图 1A)。同时 ZBTB16 在不同病理分期肝癌组织中的表达情况不同, I 期的表达明显高于 II、III、IV 期($P < 0.05$, 图 1B)。Western blotting 结果同样显示, ZBTB16 在肝癌组织临床样本中的表达明显低于正常肝组织($P < 0.01$, 图 1C)。进一步用实时荧光定量 PCR 检测正常肝细胞系和多种肝癌细胞中 ZBTB16 的表达, 发现相比于正常肝细胞系, 肝癌细胞系中 ZBTB16 的 mRNA 表达水平明显降低($P < 0.05$, $P < 0.01$, $P < 0.05$, 图 1D)。

2.2 ZBTB16 表达水平与肝癌患者生存率的相关性 为探讨肝癌组织中 ZBTB16 的表达对患者生存率的影响, GEPIA 在线分析 ZBTB16 表达和肝癌患者总生存率的相关性。结果发现, ZBTB16 高表达组肝癌患者的总生存率明显高于低表达组患者, 差异有统计学意义($P=0.046$, 图 2)。

图 1 *ZBTB16* 在肝癌组织、肝癌细胞系及正常肝组织中的表达

注：A. *ZBTB16* 在 TCGA($n=369$) 和 GTEx($n=160$) 数据库肝癌组织中的表达；B. *ZBTB16* 在不同病理分期肝癌组织中的表达；C. *ZBTB16* 蛋白在肝癌组织中的表达；D. *ZBTB16* 在不同肝癌细胞系中的表达。N: 瘤旁组织，T: 肝癌组织。* $P < 0.05$, ** $P < 0.01$

图 2 *ZBTB16* 在肝癌组织中的表达和患者生存率的相关性

2.3 *ZBTB16* 过表达对肝癌细胞增殖、迁移和侵袭的影响 研究发现，*ZBTB16* 在肝癌细胞系 HepG2 中的表达量最低($P < 0.01$, 图 1D)。因此，为进一步探讨 *ZBTB16* 在肝癌中的作用，研究通过腺病毒 Ad-GFP 和 Ad-ZBTB16 在 HepG2 中过表达 *ZBTB16*。结果发现，腺病毒感染后 *ZBTB16* 的 mRNA 和蛋白质表达水平明显升高($P < 0.001$, 图 3A、3B)。CCK-8 实验结果显示，过表达 *ZBTB16* 能明显抑制 HepG2 细胞的增殖($P < 0.01$, 图 3C)。Transwell 实验结果表明，过表达 *ZBTB16* 使 HepG2 细胞的迁移和侵袭能力明显降低($P < 0.01$, 图 3D、3E)。

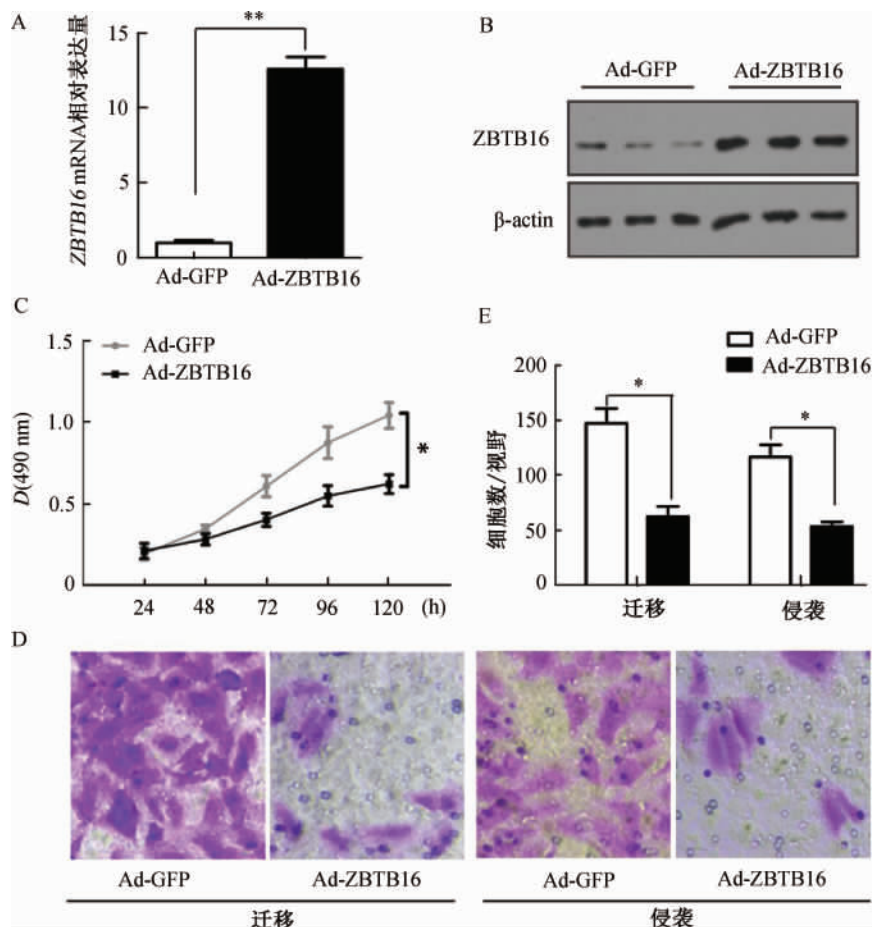


图3 ZBTB16过表达对肝癌细胞系HepG2增殖、迁移和侵袭的影响

注：A、B. 实时荧光定量 PCR(A)和 Western blotting(B)检测腺病毒 Ad-ZBTB16 在肝癌细胞系 HepG2 中的过表达效率；C. ZBTB16 过表达抑制肝癌细胞系 HepG2 的增殖；D. ZBTB16 过表达抑制肝癌细胞系 HepG2 的迁移和侵袭；E. HepG2 迁移和侵袭细胞数量的统计分析。*P < 0.05, **P < 0.01

2.4 ZBTB16 过表达对 JAK2 和 STAT3 磷酸化水平的影响

为进一步探究 ZBTB16 调控肝癌细胞系增殖、迁移和侵袭的潜在分子机制，研究对 JAK2/STAT3 信号通路中 p-JAK2、JAK2、p-STAT3 和 STAT3 4 个关键蛋白的表达水平进行

检测。结果发现，ZBTB16 过表达能明显抑制 JAK2 和 STAT3 的磷酸化水平($P < 0.05$, 图 4)。因此，ZBTB16 过表达抑制肝癌细胞系的增殖、迁移和侵袭可能是通过抑制 JAK2/STAT3 信号通路中 2 个蛋白的磷酸化水平实现的。

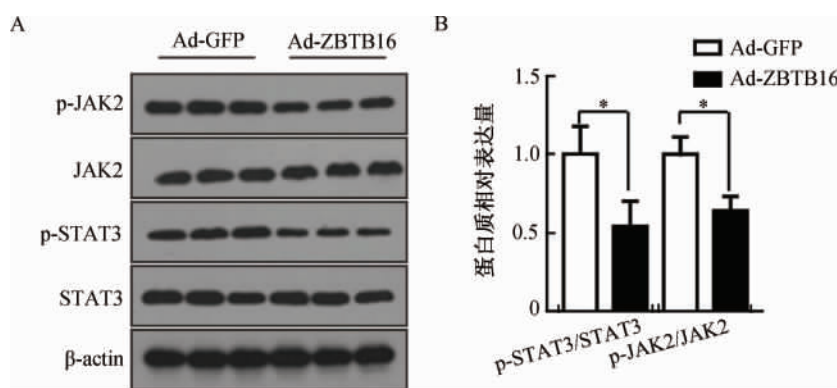


图4 ZBTB16过表达抑制 JAK2、STAT3 的磷酸化水平

注：A. Western blotting 检测腺病毒 Ad-ZBTB16 在肝癌细胞系 HepG2 中过表达 ZBTB16 对 JAK2 和 STAT3 磷酸化水平的影响；B. JAK2 和 STAT3 磷酸化水平的相对表达量。*P < 0.05

3 讨论

肝癌已成为全球发病率及死亡率仅次于胃癌的第2大消化系统恶性肿瘤，且发病率与死亡率仍保持逐年上升趋势，但其发病原因及发生发展机制尚未阐明^[2]。研究发现，针对肿瘤细胞增殖、转移等相关分子的靶向治疗在肝癌诊疗中具有重要作用，发现新的靶分子或可改善肝癌疗效及帮助开发新药物。ZBTB16 主要由 BTB/POZ、RD2 和锌指 3 个结构域组成，常常作为转录抑制因子发挥功能^[9-10]。ZBTB16 的活性受转录后修饰调控，如乙酰化^[11-13]、泛素化^[14] 和类泛素化修饰^[15]。Felicetti 等^[16]研究发现，ZBTB16 在黑色素瘤中表达降低，通过转录病毒过表达 ZBTB16 能够明显抑制黑色素瘤细胞的增殖、迁移和侵袭。Xiao 等^[6]在非小细胞肺癌的研究中发现，ZBTB16 的表达水平和肿瘤分期以及淋巴结转移程度呈负相关。Hui 等^[17]研究发现，ZBTB16 在肝癌组织中表达下调。Li 等^[18]研究发现，死亡相关蛋白激酶 1(death-associated protein kinase 1, DAPK1)可以作为肝癌的预后指标，ZBTB16 在肝癌中的表达与 DAPK1 呈正相关，提示 ZBTB16 可能在肝癌发生中起重要作用。以上研究均报道了 ZBTB16 在肝癌组织中表达下调，但关于其在肝癌中的功能研究并没有得到充分开展。

本研究利用 GEPIA 在线分析发现 ZBTB16 在肝癌组织中表达明显降低，提示 ZBTB16 在其形成、发展及进展中可能发挥重要作用，将来或可作为肝癌治疗的潜在靶点。但目前关于 ZBTB16 在肝癌中的表达及其作用研究得较少，其表达水平是否与肝癌发生发展相关尚未明确。本研究基于 6 例肝癌组织与癌旁正常组织对数据库中 ZBTB16 的表达情况进行验证，发现 ZBTB16 在肝癌组织中的表达水平确实明显低于癌旁正常组织。实时荧光定量 PCR 检测发现在肝癌细胞系 Hep3B、HepG2 和 Bel-7402 中 ZBTB16 的表达明显低于正常肝细胞 HL-7702，亦与数据库生物信息分析结果一致，提示 ZBTB16 可能参与肝癌的发生发展。

癌细胞转移是导致肝癌患者疗效及预后不佳的主要原因之一，因此，抑制其转移是抑制肝癌发生发展、改善患者预后的重要途径。为探究 ZBTB16 在肝癌细胞增殖、迁移和侵袭中的作用，研究利用腺病毒在肝癌细胞系 HepG2 中过表达 ZBTB16。

结果发现，腺病毒感染可明显提高 ZBTB16 的 mRNA 和蛋白质表达水平。CCK-8 实验结果表明，过表达 ZBTB16 可明显抑制细胞的增殖。Transwell 细胞侵袭和迁移实验结果显示，过表达 ZBTB16 明显抑制细胞的迁移和侵袭能力。以上提示 ZBTB16 的表达水平改变可能在肝癌细胞增殖、迁移和侵袭中发挥重要功能。为进一步探究 ZBTB16 调控肝癌细胞增殖、迁移和侵袭的潜在分子机制，研究对 JAK2/STAT3 信号通路中关键分子的表达进行检测，发现过表达 ZBTB16 能明显抑制 JAK2 和 STAT3 的磷酸化水平。因此，ZBTB16 过表达抑制肝癌细胞系的增殖、迁移和侵袭可能是通过抑制 JAK2/STAT3 信号通路中 2 个蛋白的磷酸化水平实现的。以上结果表明，提高 ZBTB16 的表达或可作为将来肝癌治疗的靶点。

参考文献

- [1] Chen W, Zheng R, Baade PD, et al. Cancer statistics in China, 2015[J]. CA Cancer J Clin, 2016, 66(2): 115-132.
- [2] Forner A, Reig M, Bruix J. Hepatocellular carcinoma[J]. Lancet, 2018, 391(10127): 1301-1314.
- [3] Stosack KH, Gerke T, Tyekucheva S, et al. Low expression of the androgen-induced tumor suppressor gene PLZF and lethal prostate cancer[J]. Cancer Epidemiol Biomarkers Prev, 2019, 28(4): 707-714.
- [4] Vincent A, Omura N, Hong SM, et al. Genome-wide analysis of promoter methylation associated with gene expression profile in pancreatic adenocarcinoma[J]. Clin Cancer Res, 2011, 17(13): 4341-4354.
- [5] Jones C, St-Jean S, Fréchette I, et al. Identification of a novel promyelocytic leukemia zinc-finger isoform required for colorectal cancer cell growth and survival[J]. Int J Cancer, 2013, 133(1): 58-66.
- [6] Xiao GQ, Li FQ, Findeis-Hosey J, et al. Down-regulation of cytoplasmic PLZF correlates with high tumor grade and tumor aggression in non-small cell lung carcinoma[J]. Hum Pathol, 2015, 46(11): 1607-1615.
- [7] Matsuzawa K, Izawa S, Ohkura T, et al. Implication of intracellular localization of transcriptional repressor PLZF in thyroid neoplasms[J]. BMC Endocr Disord, 2014, 14: 52.
- [8] Shen H, Zhan M, Zhang Y, et al. PLZF inhibits proliferation and metastasis of gallbladder cancer by regulating IFIT2 [J]. Cell Death Dis, 2018, 9(2): 71.
- [9] Koubi M, Poplineau M, Vernerey J, et al. Regulation of the positive transcriptional effect of PLZF through a non-canonical EZH2 activity[J]. Nucleic Acids Res, 2018, 46(7): 3339-3350.
- [10] Liu TM, Lee EH, Lim B, et al. Concise review: Balancing

- stem cell self-renewal and differentiation with PLZF [J]. *Stem Cells*, 2016, 34(2): 277-287.
- [11] Guidez F, Howell L, Isalan M, et al. Histone acetyltransferase activity of p300 is required for transcriptional repression by the promyelocytic leukemia zinc finger protein[J]. *Mol Cell Biol*, 2005, 25(13): 5552-5566.
- [12] McConnell MJ, Durand L, Langley E, et al. Post transcriptional control of the epigenetic stem cell regulator PLZF by sirtuin and HDAC deacetylases[J]. *Epigenetics Chromatin*, 2015, 8: 38.
- [13] Sadler AJ, Suliman BA, Yu L, et al. The acetyltransferase HAT1 moderates the NF- κ B response by regulating the transcription factor PLZF[J]. *Nat Commun*, 2015, 6: 6795.
- [14] Vasanthakumar A, Xu DK, Lun AT, et al. A non-canonical function of Ezh2 preserves immune homeostasis[J]. *EMBO Rep*, 2017, 18(4): 619-631.
- [15] Chao TT, Chang CC, Shih HM. SUMO modification modulates the transrepression activity of PLZF[J]. *Biochem Biophys Res Commun*, 2007, 358(2): 475-482.
- [16] Felicetti F, Bottero L, Felli N, et al. Role of PLZF in melanoma progression[J]. *Oncogene*, 2004, 23(26): 4567-4576.
- [17] Hui AW, Lau HW, Cao CY, et al. Downregulation of PLZF in human hepatocellular carcinoma and its clinical significance [J]. *Oncol Rep*, 2015, 33(1): 397-402.
- [18] Li L, Guo L, Wang Q, et al. DAPK1 as an independent prognostic marker in liver cancer[J]. *PeerJ*, 2017, 5: e3568.

Application of tumor database information to analyze the expression and its potential function of ZBTB16 in hepatocellular carcinoma

YU Ling¹, YU Min² [1. Research and Development Department, 3D Medicines (Beijing) Co. Ltd, Beijing 100176, China; 2. Department of Cardiology, the Affiliated Hospital of Inner Mongolia Medical University, Hohhot 010050, China]

Abstract: Zinc finger and BTB domain containing 16 (ZBTB16), also known as promyelocytic leukemia zinc finger (PLZF), acts as a transcriptional repressor in regulating cell cycle, proliferation, differentiation and apoptosis. However, there are few studies on its expression pattern and function in hepatocellular carcinoma (HCC). The expression pattern of ZBTB16 in the 369 HCC tissues from TCGA database and 160 normal liver tissues from GTEx database was analyzed in this study. Compared to normal liver tissues, the expression of ZBTB16 was found to be significantly down-regulated in HCC tissues. Western blotting and Real-time quantitative PCR analysis confirmed the down-regulation of ZBTB16 in HCC clinical samples and HCC cell lines. The expression level of ZBTB16 was positively correlated with the overall survival of HCC patients. Overexpression of ZBTB16 in the HCC cell line HepG2 by Ad-ZBTB16 significantly inhibited cell proliferation, migration and invasion. Further mechanistic studies showed that overexpression of ZBTB16 significantly inhibited the phosphorylation levels of JAK2 and STAT3. These results suggest that increasing the expression of ZBTB16 may serve as a target for future HCC treatment.

Key words: hepatocellular carcinoma; zinc finger and BTB domain containing 16; proliferation; migration; invasion